

2. ΤΟ ΝΕΟΛΙΘΙΚΟ ΣΠΙΤΙ ΤΗΣ ΣΩΣΑΝΔΡΑΣ

2. THE NEOLITHIC HOUSE AT SOSANDRA

2.1 ΧΩΡΟΘΕΤΗΣΗ ΚΑΙ ΑΝΑΣΚΑΦΗ ΤΟΥ ΣΠΙΤΙΟΥ

Η έρευνα του δεύτερου σε σειρά αποκάλυψης οικοδομήματος έφερε στο φως ένα μοναδικής διατήρησης πασσαλόπηκτο κτίσμα, που ονομάστηκε συμβατικά σπίτι της Σωσάνδρας. Βρίσκεται στην πεδινή λεκάνη ανάμεσα στους δύο λόφους Μεγάλη και Μικρή Κορφούλα, σε απόσταση 300 μ. δυτικά της Μικρής Κορφούλας. Ειδικότερα, εντοπίζεται 100 μ. νότια του δρόμου Σωσάνδρας-Λυκοστόμου, στο ύψος των αγρών 256 και 225 (Χάρτης 3, Πίν. 1β).

Αρχικά εντοπίστηκε, όπως προαναφέρθηκε, κατά τη διάνοιξη της τάφρου του κεντρικού αγωγού μεταφοράς νερού, σε βάθος 75-80 εκ. από την επιφάνεια του εδάφους, ένα στρώμα πάχους 30-35 εκ., αποτελούμενο από ψημένες λόγω πυρκαγιάς πηλόμαζες, οι οποίες, όπως διαπιστώθηκε μετά τη σύντομη προκαταρκτική έρευνα, αποτελούσαν αδιατάρακτο στρώμα καταστροφής από την ανωδομή των τοίχων οικοδομήματος της Νεολιθικής Εποχής (Πίν. 2)⁶. Κατά τη σωστική ανασκαφή⁷, που διενήργησε η ΙΖ' ΕΠΚΑ από τον Μάρτιο έως και τον Ιούλιο του 2008 με δαπάνη του έργου, αποκαλύφθηκε το στρώμα καταστροφής σε όλη του την έκταση και διαγράφηκε έτσι το περίγραμμα ενός πασσαλόπηκτου, ορθογώνιου κτηρίου, 58 τ.μ., με προσανατολισμό ΒΑ-ΝΔ (Σχέδ. 1, Πίν. 2,

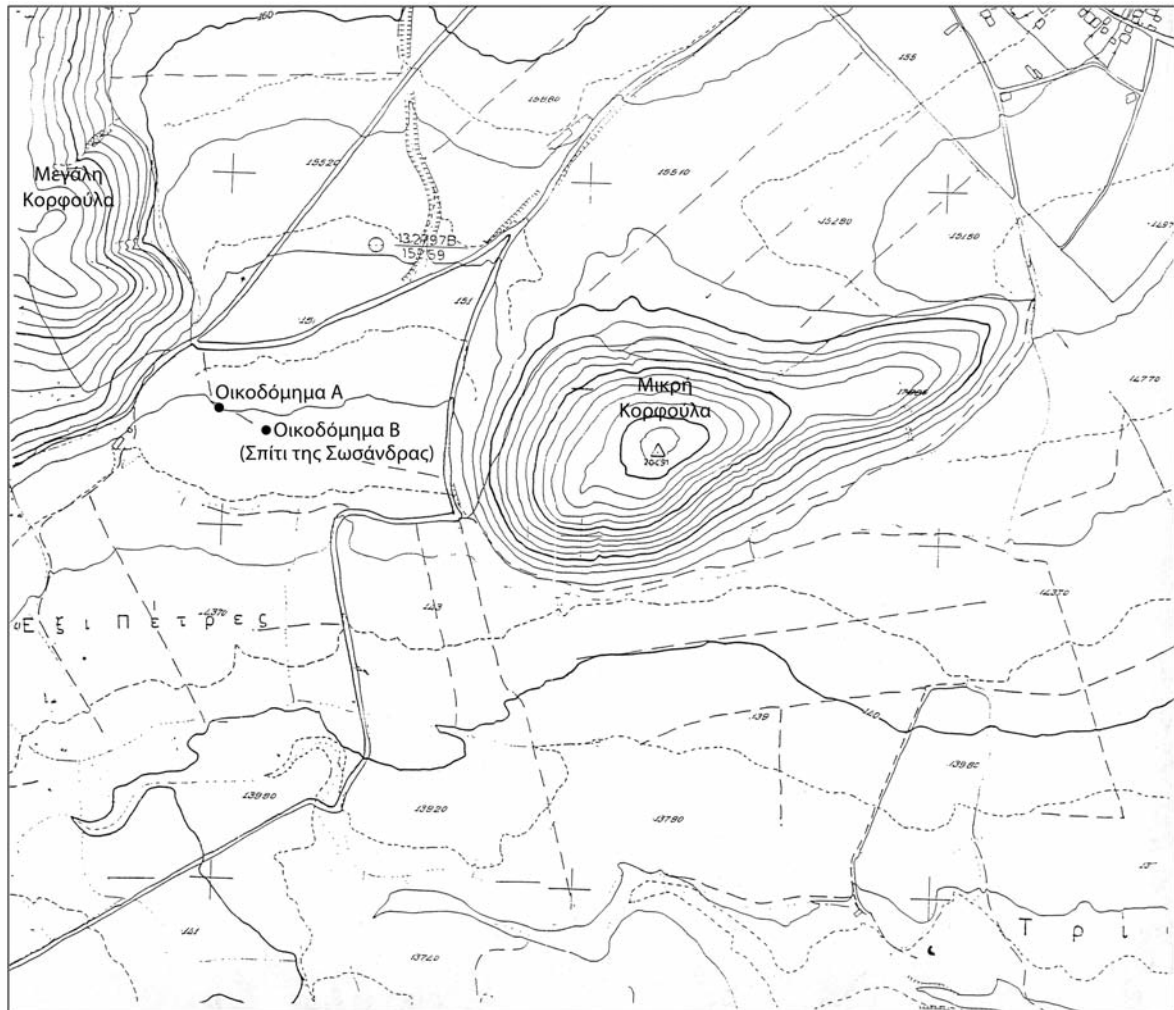
2.1 LOCATION AND EXCAVATION OF THE HOUSE

The excavation of the second building brought to light a timber-post-framed house preserved in excellent condition, which was conventionally named the Sosandra house. It is situated in the flat basin between the two hills, "Mikri Korfoula" and "Megali Korfoula". More specifically, it is 300 m west of the hill "Mikri Korfoula" and 100 m south of the Sosandra-Lykostomo road (Map 3, Pl. 1b).

During the digging of the ditch for the central water main from the hill "Megali Korfoula" to Aridaia, a burned, undisturbed clay layer was revealed. Its breadth was 35 cm and it was 75-80 cm beneath the present surface of the ground. As was proved by the rescue excavation, which was conducted by the 17th Ephorate of Prehistoric and Classical Antiquities from March to July 2008, this was the structural debris of a rectangular timber-post-framed building of the Prehistoric Age (Pl. 2). It measured 58 m² and was oriented NE-SW (Fig. 1, Pl. 2, 3). The collapsed burned

6. Σύμφωνα με πληροφορίες των γηραιότερων, το ιδιαίτερα πλούσιο σε άργιλο χώμα της περιοχής (βλ. κεφ. 2.2) χρησιμοποιήθηκε κατά την περίοδο της Τουρκοκρατίας και έως τα μέσα του 20^{ου} αι. για την κατασκευή πλιθιών ή ως επίχρισμα (πεταχτό) ξυλότοιχων με «τασμά» ή «μπουλμέ». Μάλιστα, περίπου 200 μ. ΒΑ του σπιτιού της Σωσάνδρας υπήρχε ειδικά διαμορφωμένος χώρος για την κατασκευή και το στέγνωμα πλιθιών.

7. Γεωργιάδου 2009, 87-94. Georgiadou 2013, 79-81.

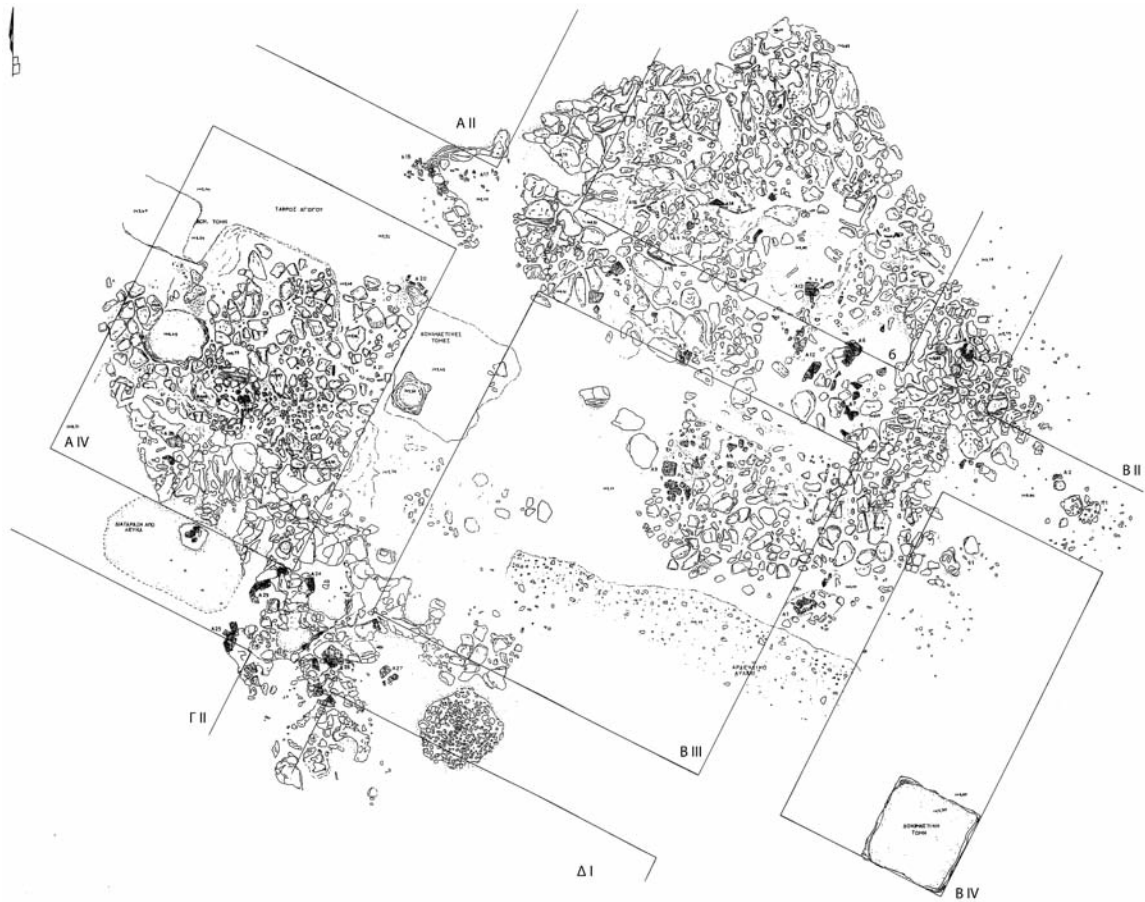


Χάρτης 3. Τοπογραφικό διάγραμμα με τη θέση των δύο οικοδομημάτων.

Map 3. Map showing the location of the two buildings.

3). Μάλιστα, έγινε αμέσως εμφανές ότι οι πεσμένοι τοίχοι είχαν σφραγίσει την οικοσκευή και τις κατασκευές, που βρίσκονταν στο εσωτερικό του κτηρίου, δημιουργώντας ένα κλειστό σύνολο, περίπτωση σπάνια για την εποχή. Το σύνολο αυτό στη συνέχεια επικαλύφθηκε αρχικά από ένα καστανό, πλημμυρικής προέλευσης, αργιλοαμμώδες χώμα με μικρές κροκάλες πάχους 55-60 εκ. (Στρώμα Β') και το σημερινό επιφανειακό στρώμα (Στρώμα Α'). Τα δεδομένα αυτά, συνεπικουρούμενα από την απουσία νεότερης κατοίκησης στην περιοχή, συντέλεσαν στην άριστη διατήρηση των οικοδομικών λειψάνων και της οικοσκευής του σπιτιού. Έτσι, δημιουργήθηκαν οι ιδανικές ανασκαφικές συνθήκες και δόθηκε η δυνατότητα περιουλογής πολλών πληροφοριών για την αρχιτεκτονική, την εσωτερική διαρρύθμιση του οικήματος, αλλά και την οργάνωση του νοικοκυριού.

walls sealed up the household equipment and the structures in the interior of the building, creating a closed deposit, a rare case for this period. Afterwards, this deposit was initially covered by a brown-colored argil-sand soil with little pebbles, which was 55-60 cm thick (Layer B), and eventually by the present topsoil (Layer A). The absence of later habitation in the area contributed to the excellent preservation of the architectural remains and the household equipment. The excavation conditions were ideal and allowed us to gather a great deal of information about the architecture, the wall construction, the spatial organization and the daily domestic activities.

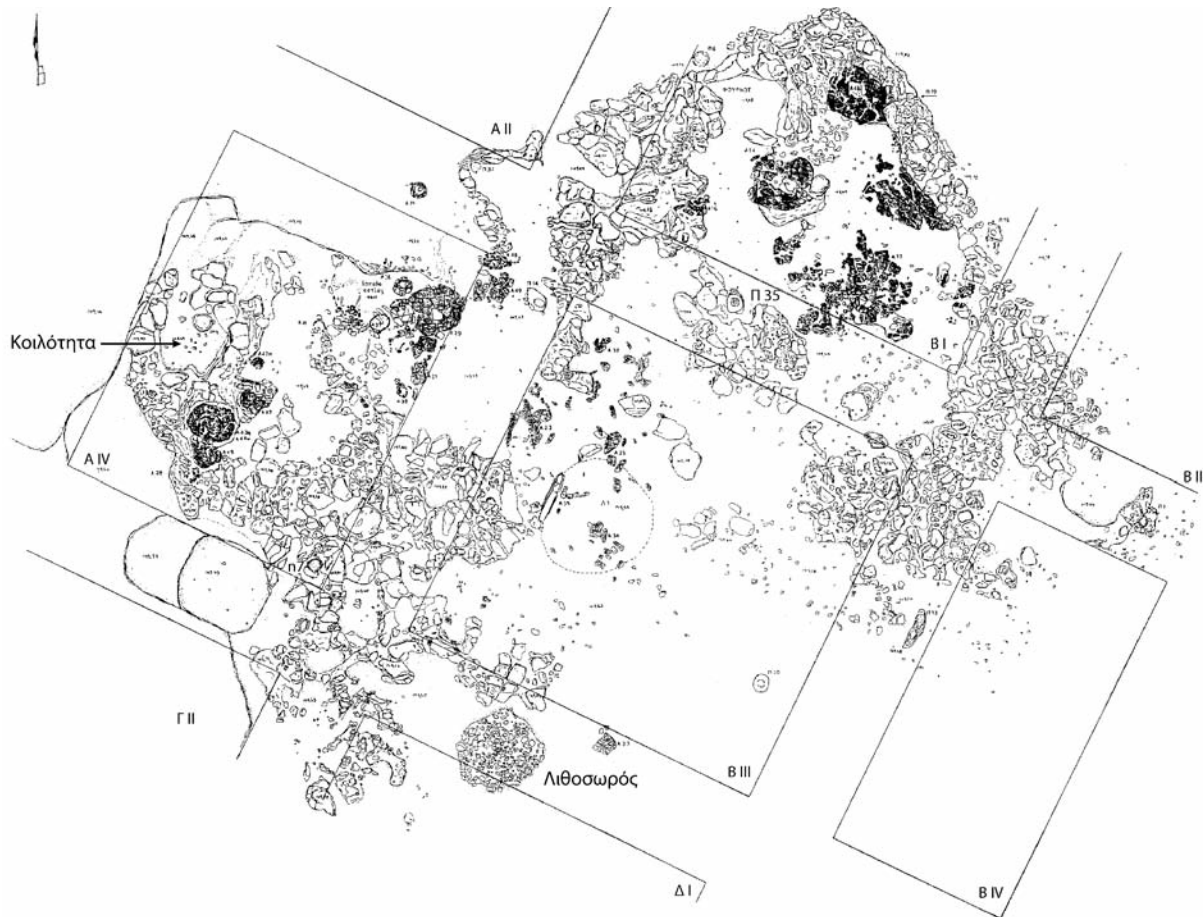


Σχέδιο 1. Στρώμα καταστροφής με πηλόμαζες από την ανωδομή των τοίχων του σπιτιού.

Figure 1. Structural debris with clay lumps from the walls of the house.

Η παρουσία μίας και μοναδικής φάσης κατοίκησης στο σπίτι στοιχειοθετεί τη σύντομη διάρκεια χρήσης του. Η φωτιά, που το κατέστρεψε, δεν οφείλεται σε κάποιο σεισμό, όπως συμπεραίνεται από το γεγονός της πτώσης των τοίχων προς το εσωτερικό του κτηρίου. Προκλήθηκε είτε από τους φούρνους, οι οποίοι βρίσκονταν πολύ κοντά στους τοίχους, είτε από κάποια εχθρική επιδρομή. Μάλιστα, όπως στοιχειοθετείται από τη φτωχή εκπροσώπηση εργαλείων κοπής και ειδωλίων, οι ένοικοί του διαβλέποντας τον κίνδυνο πρόλαβαν να το εγκαταλείψουν παίρνοντας μαζί τους τα μικρά, αλλά απαραίτητα για την περαιτέρω επιβίωσή τους, αντικείμενα, που λόγω του μικρού μεγέθους τους ήταν δυνατό να μεταφερθούν. Τα αντικείμενα μεγάλων διαστάσεων αντίθετα, όπως τα τριπτά εργαλεία και τα πήλινα αγγεία, λόγω του βάρους τους αφέθηκαν πίσω. Παρά ταύτα η θέση εύρεσης της λεπίδας AK 12, των τριπτήρων AK 62, 64, 102 και του αγγείου AK 85 υποδηλώνει μια ελπίδα επανόδου, καθώς είχαν εσκεμμένα τοποθετηθεί εντός αγγείων.

The existence of only one habitation phase in the house proves the short duration of its use. The fire which destroyed it was the result of an accidental event, because the ovens were situated very close to the walls or because of an enemy attack. The inhabitants, foreseeing the danger, abandoned the house taking with them the small chipped and edge tools necessary for their survival and objects with symbolic meaning, which could be carried easily. We were led to this conclusion by the poor representation of this kind of artifacts in the house. On the contrary, the big objects, like the ground stone tools and the vessels were left behind, due to their weight. However, the position of the blade AK 12, the grinding tools AK 62, 64, 102 and the vessel AK 85 show a hope of returning, because they were found in the interior of some vessels.



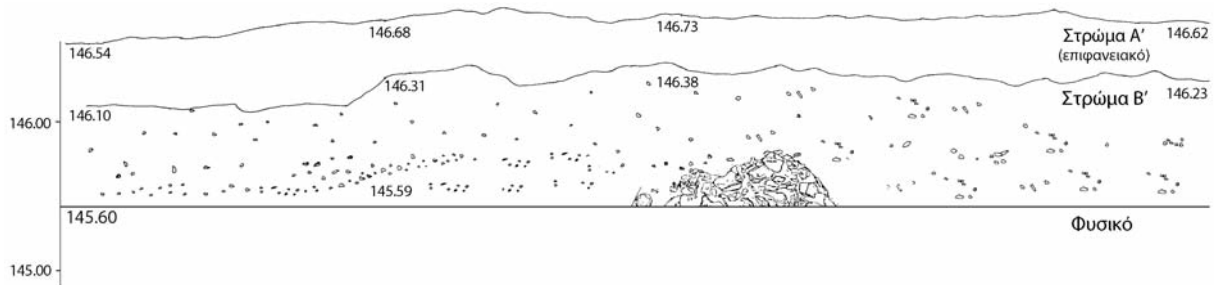
Σχέδιο 2. Στρώμα αγγείων στο εσωτερικό του σπιτιού.

Figure 2. The vessels in the interior of the house.

Ήδη, κατά τον επιφανειακό καθαρισμό του στρώματος καταστροφής των τοίχων, άρχισε να διαγράφεται το περιερίλωμα πολλών από τα συνολικά πενήντα καταπλεκωμένα αγγεία (Πίν. 4, 5, 6α)⁸. Αμέσως έγινε εμφανές ότι αυτά αναπτύσσονταν κατά μήκος και σε άμεση επαφή με τους εξωτερικούς τοίχους του κτηρίου, οπότε με την αφαίρεση των οικοδομικών πηλών και την αποκάλυψη των αγγείων, αρχικά από το κέντρο του χώρου και στη συνέχεια προς τις πλευρές, στάθηκε δυνατή η απομόνωση των εξωτερικών τοίχων και δόθηκε έτσι η δυνατότητα να γίνουν πολλές σχετικές με την κάτοψη και την τοικοποιία παρατηρήσεις.

During the revealing of the structural debris, many out of the total of 50 vessels came to light (Pl. 4, 5, 6a). It immediately became clear that they were situated very close to the external walls of the building. So, the removal of the clay lumps and the revealing of the vessels started from the center of the building and continued to the outwards walls. In this way it was possible to trace the external walls, and we had the opportunity to make many observations about the ground plan and the construction technique of the building.

8. Η αρίθμηση των αγγείων κατά την ανασκαφή διευκόλυνε το ιδιαίτερα δύσκολο έργο της συγκόλλησης και διασφάλισε την ταύτιση της λειτουργίας των χώρων.



Σχέδιο 3. Στρωματογραφία βόρειας παρειάς.

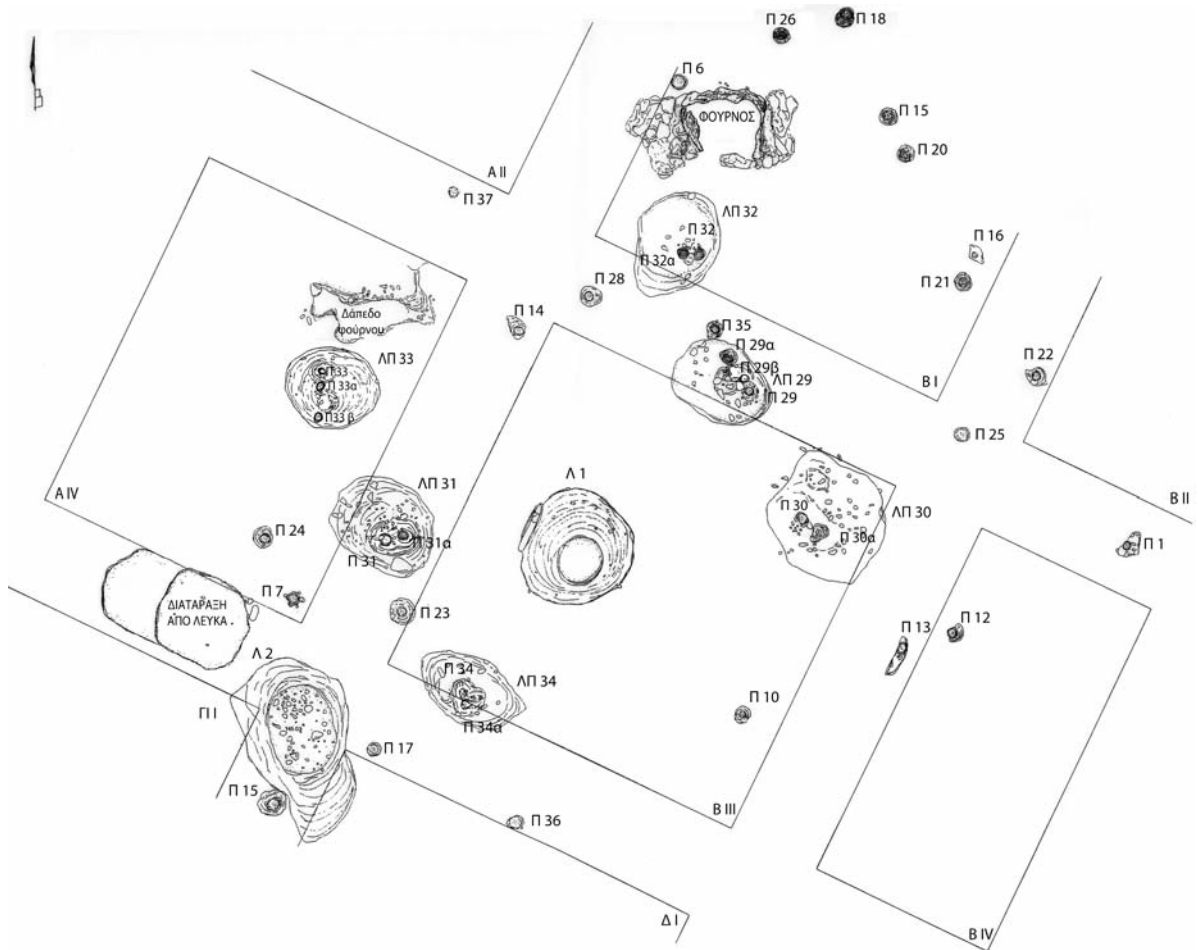
Figure 3. Stratigraphy section of the northern profile.

2.2 ΣΤΡΩΜΑΤΟΓΡΑΦΙΑ (ΣΧΕΔ. 3, ΠΙΝ. 6Β)

Το πλούσιο υδρογραφικό δίκτυο, που περιγράφηκε παραπάνω, αλλά και η διάβρωση των πρανών των δύο λόφων προκαλούσαν, μετά από έντονες βροχοπτώσεις ή άλλα ακραία φυσικά φαινόμενα, όπως οι σεισμοί, διαδοχικά

2.2 STRATIGRAPHY (FIG. 3, PL. 6b)

The rich hydrographic network, which was mentioned earlier, and the erosion of the slopes of the two hills caused repeated floods, after heavy rainfalls or other extreme



Σχέδιο 4. Κάτοψη πλέγματος πασσαλοπών.

Figure 4. Row of post-holes. Ground plan.

πλημμυρικά επεισόδια, συμβάλλοντας έτσι με αλληπάλληλες αποθέσεις υλικών στη δημιουργία του ιζηματογενούς υπεδάφους στην περιοχή. Αυτό αποτελούσε το επίπεδο χρήσης του οικισμού και κατ' επέκταση του σπιτιού, όπου το στρώμα καταστροφής με το κάτω μέρος των τοίχων βρίσκεται σε βάθος περίπου 1,00-1,10 μ. από τη σημερινή επιφάνεια και πρόκειται για στρώμα κλαστικών υλικών με μεσαίου μεγέθους κροκάλες.

Το υπερκείμενο από αυτό Στρώμα Β', με το οποίο, όπως προαναφέρθηκε, καταχώθηκαν τα κρημνίσματα του σπιτιού, είναι επίσης ποταμοχειμάρριας προέλευσης με καστανό, αργιλοαμμώδες χώμα που περιέχει μικρές κροκάλες. Το πάχος του είναι 55-60 εκ. με το ποσοστό άμμου, σύμφωνα με την ορυκτολογική μελέτη, να αγγίζει το 63%. Το ανώτερο σήμερα επιφανειακό στρώμα (Στρώμα Α'), πάχους 40-45 εκ., αποτελεί νεογενή δημιουργία. Είναι γκριζοκάστανο, επίσης αργιλοαμμώδες, με μεγαλύτερη απ' ό,τι το Στρώμα Β', περιεκτικότητα σε άργιλο.

Με τα στρώματα Α' και Β' επήλθε η κατάκλιση των πεσμένων τοίχων του σπιτιού της Σωσάνδρας και δημιουργήθηκαν έτσι άριστες για τον ανασκαφέα συνθήκες.

2.3 ΑΡΧΙΤΕΚΤΟΝΙΚΗ

Τα δομικά υλικά που χρησιμοποιήθηκαν για την κατασκευή του σπιτιού περιορίζονταν στον πηλό και το ξύλο. Οι τοίχοι εδράζονταν πάνω στην ισοπεδωμένη επιφάνεια χωρίς την εκκαφή αύλακας θεμελίωσης. Καλύτερα σωζόμενοι, έως και το ύψος των 35-40 εκ., ήταν ο ανατολικός και το ανατολικό τμήμα του βόρειου τοίχου, στη γωνία των οποίων βρισκόταν το αγγείο ΑΚ 7 και ένας φούρνος εμποδίζοντας τη διάλυσή τους (Πίν. 6β, 7α, 10β, 11α). Επίσης και ο δυτικός τοίχος, δίπλα στον οποίο βρισκόταν η ομάδα των αγγείων ΑΚ43-45, σωζόταν σε ικανοποιητικό βαθμό. Διαπιστώθηκε έτσι ότι οι τοίχοι πλάτους 30-33 εκ. ήταν κτισμένοι με μάζες πηλού, σχηματοποιημένες με το χέρι, οι οποίες τοποθετούνταν εκατέρωθεν του ξύλινου σκελετού που αποτελούσε τον κυρίως φέροντα οργανισμό του κτηρίου (Πίν. 7α, 8, 9α, 10, 11α).

Ο ξύλινος σκελετός κατά μήκος των εξωτερικών πλευρών του κτηρίου, σύμφωνα με το πλέγμα των πασσαλοπών (Σχέδ. 4, Πίν. 11β, 12α), που αποκαλύφθηκαν στο τελικό στάδιο της ανασκαφής, διαμορφωνόταν ως εξής: σε ό,τι αφορά στους εξωτερικούς τοίχους οι κύριοι, κατακόρυφοι πάσσαλοι, διαμέτρου 10-12 εκ., ήταν τοποθετημένοι μεταξύ τους σε απόσταση από 1,00 έως και 1,50

natural phenomena, such as earthquakes, which carried several materials and contributed to the creation of the sedimentary subsoil in the area through successive deposits. The natural soil which constituted the habitation level of the house and the settlement contained pebbles of middle size and lay at a depth of 1.00-1.10 m from the ground surface.

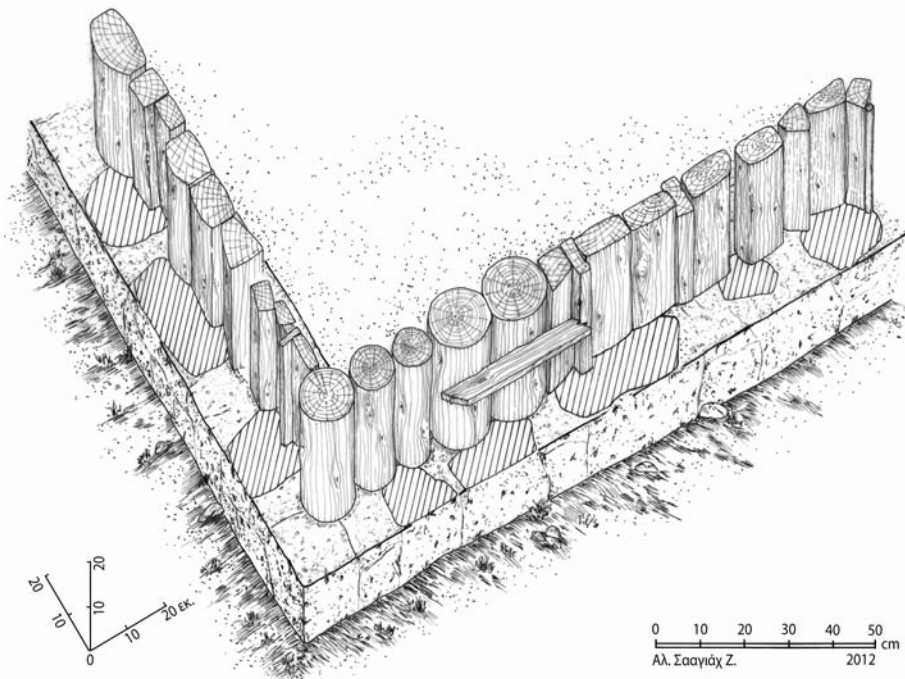
The remains of the house were buried under a brown, argil-sand soil containing little pebbles (Layer B). Its thickness is 55-60 cm and the proportion of sand touches 63%, according to the mineralogical study. The upper current topsoil layer (Layer A) is 40-45 cm thick. This is also argil-sand, but of grey-brown color and with a higher argil content than Layer B.

These two layers covered and preserved the architectural remains of the Sosandra house in an excellent condition.

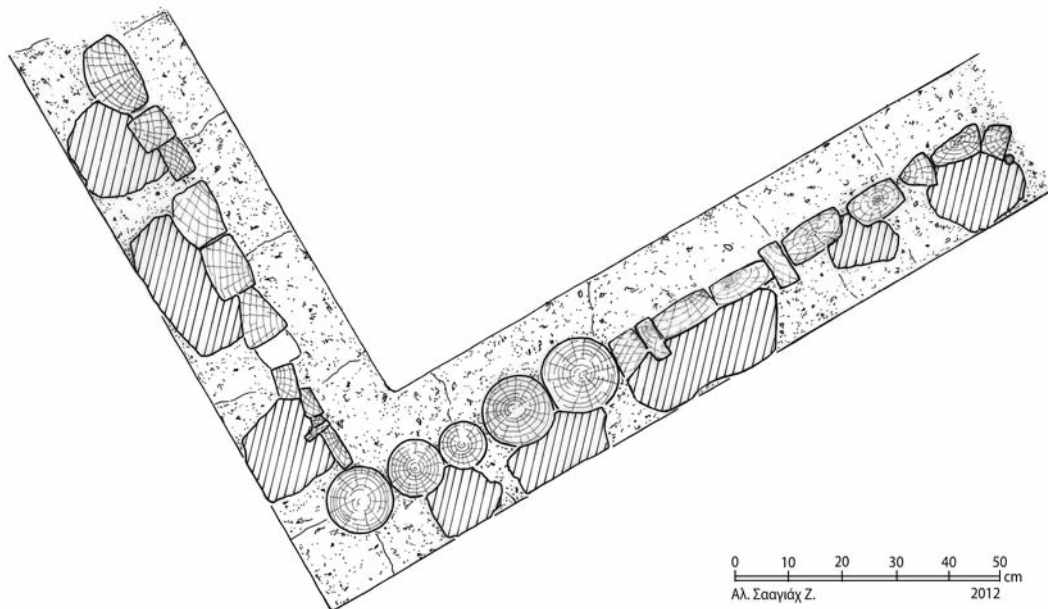
2.3 ARCHITECTURE

The structural materials used for the construction of the house were clay and wood. The walls were based on the flattened surface without a foundation trench. Better preserved, to a height of 35-40 cm, were the east wall and the east part of the north wall. In their corner lay the vessel AK 7 and an oven (Pl. 6b, 7a, 10b, 11a). Moreover the western wall, beside which lay the group of vessels AK 43-45, was preserved to a satisfying degree. So it was determined that the walls were 30-33 cm wide and that they were constructed of clay lumps, formed by hand, which were placed inside and outside the wooden frame (Pl. 7a, 8, 9a, 10, 11a).

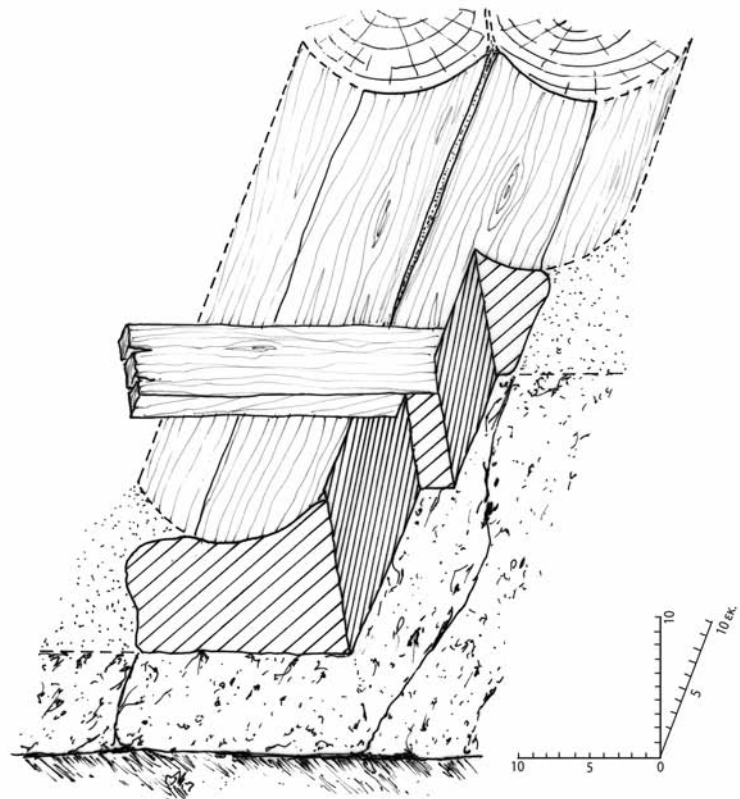
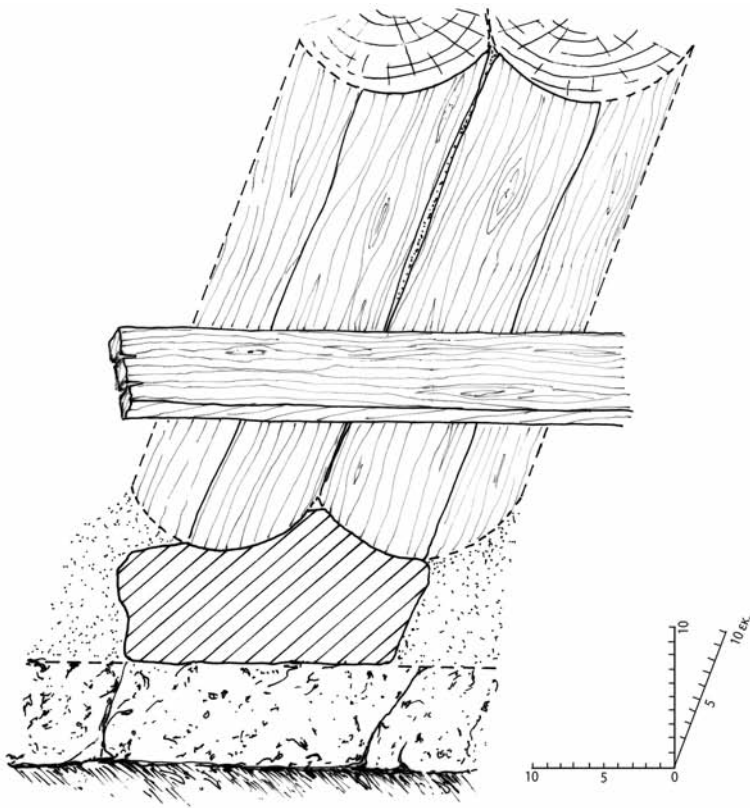
The wooden frame along the external sides of the building, according to the row of post-holes (Fig. 4, Pl. 11b, 12a) that were revealed at the final layer of the excavation, was formed as follows: the external walls consisted of upright poles, with a diameter of 10-12 cm, placed at intervals of 1.00-1.50 m.



Σχέδιο 5. Αναπαράσταση της τοικοποιίας, σύμφωνα με τα αποτυπώματα πάνω στις μάζες του οικοδομικού πηλού.
 Figure 5. Reconstruction of the wall structure based on the impressions preserved on the clay lumps.



Σχέδιο 6. Τομή της τοικοποιίας.
 Figure 6. Section of the wall structure.

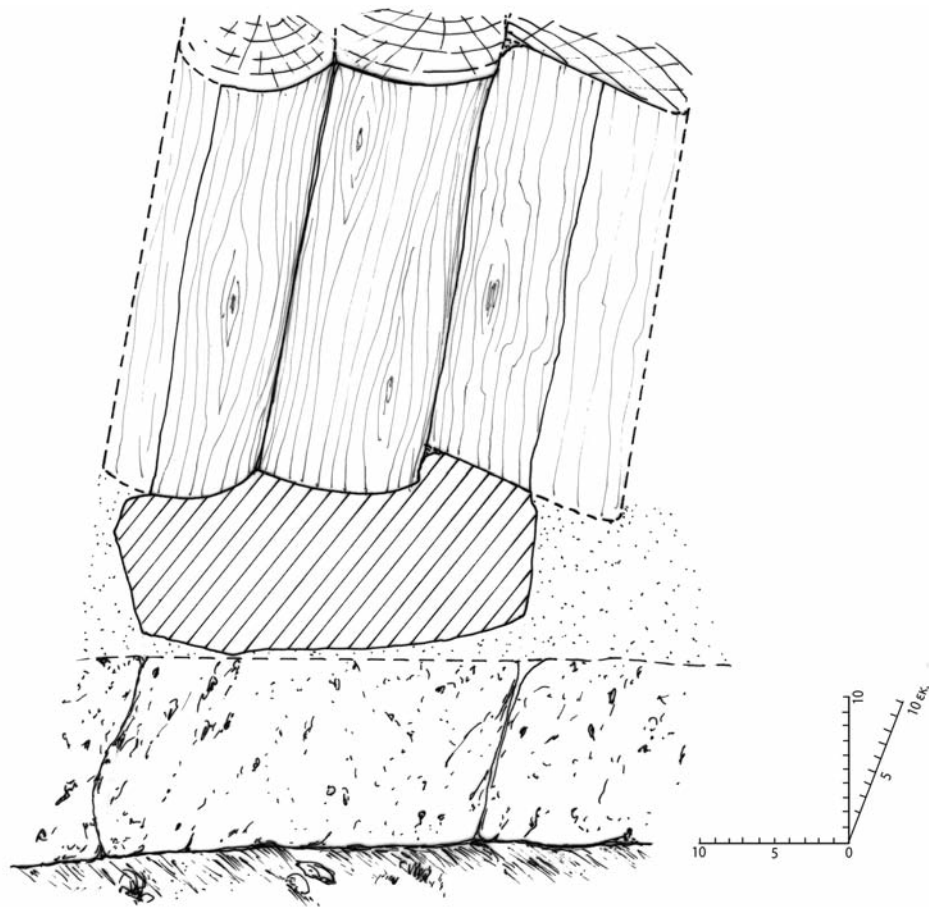


Σχέδιο 7. Μάζα πηλού με αποτυπώματα πασσάλων και αποσχισμένου ξύλου (σανίδα) (ΑΚΕ 5253 α).

Figure 7. Clay lump with impressions of poles and plank (AKE 5253 a).

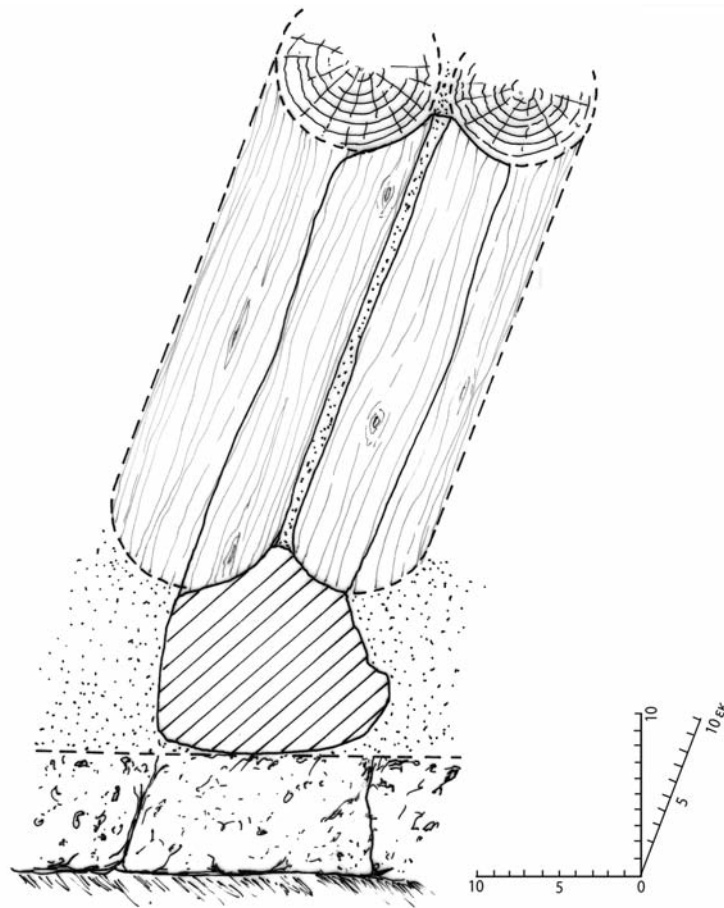
μ. Το κάτω άκρο των πασσάλων είχε υποστεί υποτυπώδη επεξεργασία για το σχηματισμό μυτερής απόληξης. Εμπήγονταν εντός λάκκων με αρχική διάμετρο 20 εκ. και βάθος από 15 έως 25 εκ. (Πίν. 11β, 14, 15). Καλύτερα διατηρημένες με απανθρακωμένα ξύλα στο εσωτερικό ήταν οι πασσαλοοπέδες κατά μήκος της ανατολικής και της νότιας πλευράς (Πίν. 12β, 13), ενώ στη βόρεια σώζονταν αυτές του ανατολικού τμήματος. Στη δυτική πλευρά εντοπίστηκε μόνο η πασσαλοοπή Π 15, που βρίσκεται λίγο πριν τον νοτιοδυτικό γωνιακό πάσσαλο, η οπή του οποίου δεν διασώθηκε. Οι παράγοντες που συντέλεσαν στην καταστροφή των πασσαλοοπών του δυτικού τοίχου ήταν δύο λεύκες, ένα αρδευτικό κανάλι βάθους 80 εκ., που έρρεε μέχρι την έναρξη της ανασκαφής κατά μήκος της νότιας πλευράς του κτιρίου, αποθέτοντας ένα στρώμα με κροκάλες και άμμο, αλλά και η εκσκαφή του αγωγού στη ΒΔ-γωνία (Πίν. 7β). Ανάμεσα στους κύριους, κατακόρυ-

Their lower edge was sharp ended. They were impacted in pits that had a diameter of 20 cm and a depth that ranged between 15 and 25 cm. (Pl. 11b, 14, 15). The post-holes along the east and the south side were better preserved, with carbonized wood in their interior (Pl. 12b, 13), while on the north side those in the east part were preserved. On the west side the only post-hole found was Π 15, the next to last before the south-west corner. The reasons that led to the destruction of the post-holes of the west wall were two trees and an irrigation ditch of 80 cm in depth. Moreover the digging of the water main at the north-west corner of the building contributed to the destruction of the walls on the NW side (Pl. 7b). According to the



Σχέδιο 8. Μάζα πηλού με αποτυπώματα διαιρεμένων πασσάλων και αποσχισμένων ξύλων (σανίδων) (ΑΚΕ 5254).

Figure 8. Clay lump with impressions of split-poles and planks (AKE 5254).



Σχέδιο 9. Μάζα πηλού με αποτυπώματα πασσάλων (ΑΚΕ 5255 α).

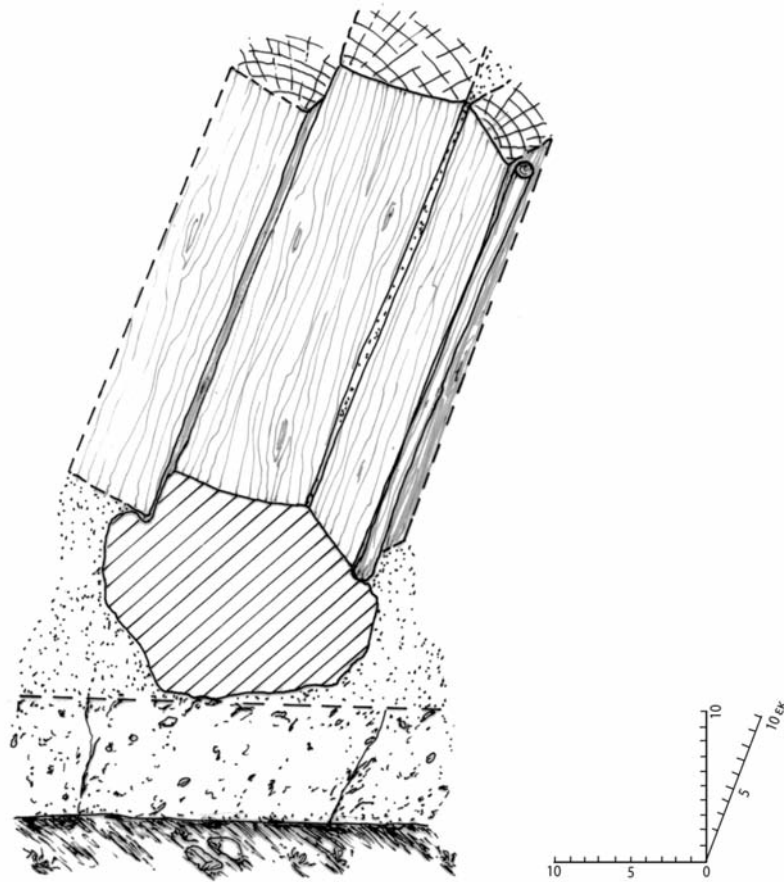
Figure 9. Clay lump with impressions of poles (AKE 5255 a).

φους πασσάλους, σύμφωνα με τα αποτυπώματα που διαγράφονται πάνω στις μάζες των πηλών, τοποθετούνταν επιπλέον πάσσαλοι, πασσαλίσκοι ή διαιρεμένοι πάσσαλοι, διαμέτρου 5-12 εκ. (Σχέδ. 5-9, Πίν. 36, 37), αλλά και αποσχισμένα ξύλα (σανίδες), τοποθετημένα κατακόρυφα ή οριζόντια. Το πλάτος των “σανίδων” κυμαίνονταν από 3,5 εκ. έως 12 εκ. (Σχέδ. 5, 6, 8, 10-14, Πίν. 36-39). Όπως δηλώνει η απουσία ιχνών θεμελίωσης, τα στοιχεία αυτά της ξύλινης κατασκευής δεν εισχωρούσαν στο έδαφος, όπως οι κύριοι κατακόρυφοι πάσσαλοι που περιγράψαμε αρχικά.

Οι πλασμένες με το χέρι μάζες των πηλών είχαν πλάτος 9-17 εκ., ύψος από 15 έως 35 εκ., ενώ το μήκος τους έφτανε και τα 40 εκ. ακόμη (Πίν. 34, 35). Η τοποθέτησή τους εσωτερικά και εξωτερικά του ξύλινου σκελετού αποδεικνύεται από τις οπές κύριων πασσάλων (Π 19 και Π 20), αλλά και πασσαλίσκων ή “σανίδων”, που διαγράφονταν στην επιφάνεια του ανατολικού και του δυτικού τοί-

impressions on the clay lumps, between the main upright poles were placed additional poles, smaller poles or split-poles of 5-12 cm in diameter (Fig. 5-9, Pl. 36, 37). Furthermore, there were split segments of poles (planks), placed vertically or horizontally. Their breadth varied from 3.5 to 12 cm (Fig. 5, 6, 8, 10-14, Pl. 36-39). As indicated by the absence of foundation traces, these elements of the wooden construction were not impacted inside the ground, as were the main upright poles.

The hand-formed clay lumps were 9-17 cm wide, 15 to 35 cm high and as much as 40 cm in length (Pl. 34, 35). Their placement inside and outside of the wooden frame was proved during the excavation through the post-holes of the main poles Π 19 and Π 20 and the



Σχέδιο 10. Μάζα πηλού με αποτυπώματα αποσχισμένων ξύλων (σανίδες) (ΑΚΕ 5255 Β).

Figure 10. Clay lump with impressions of planks (AKE 5255 B).

χου κατά την ανασκαφή (Πίν. 16, 17α). Πάνω στον μαλακό πηλό όμως, πέραν των βασικών στοιχείων που συναποτελούσαν τον σκελετό, αποτυπώθηκαν και σφήνες ή καλάμια, αλλά και τα κενά που υπήρχαν ανάμεσα στα ξύλα (Σχέδ. 10, 11, 13, Πίν. 37, 38). Ο πηλός, που χρησιμοποιούνταν για τους τοίχους, δεν υποβαλλόταν σε διαδικασία καθαρισμού, αφού εκτός από χαλίκια, κομμάτια χαλαζία ή φυτικά κατάλοιπα περιείχε πολλές φορές και ποτάμιες κροκάλες.

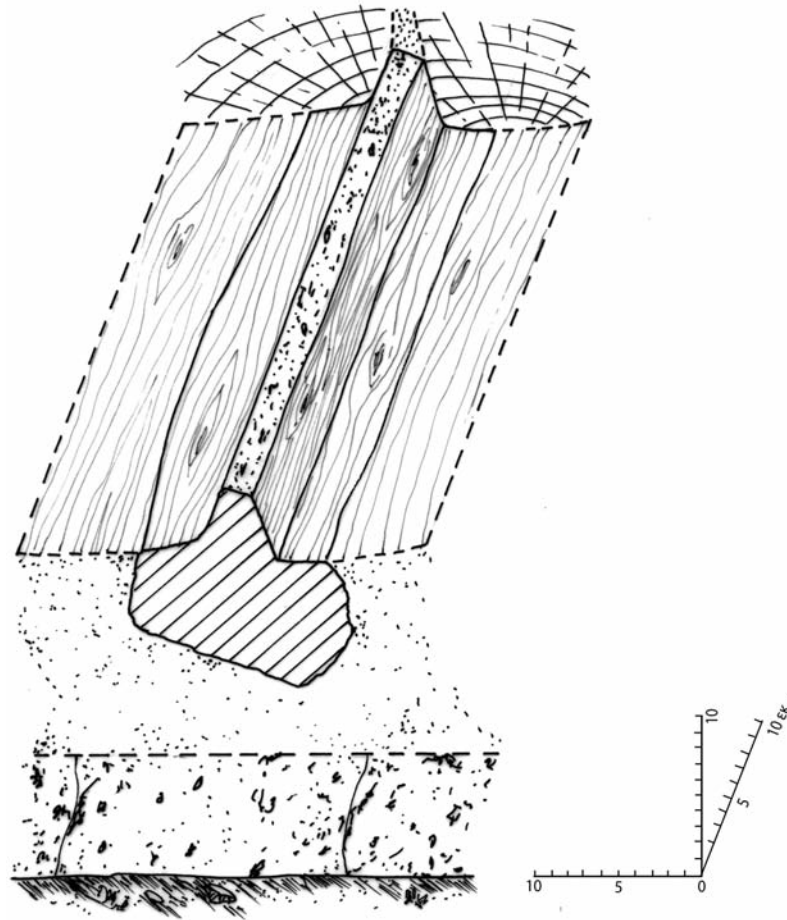
Δεν στάθηκε δυνατό ν' ανιχνευθεί ανασκαφικά αν οι πλίνθινοι εξωτερικοί τοίχοι έφεραν για μεγαλύτερη στεγανότητα επάλειψη πηλού.

Οι πασσαλοσπές στο εσωτερικό του κτηρίου χρησιμοποιούνταν για τη στερέωση των κατακόρυφων πασσάλων, που συγκρατούσαν την κατά τον διαμήκη άξονα δίριχτη στέγη (Σχέδ. 4, 15, 16, Πίν. 17β, 18α, 21β), η οποία ήταν πιθανότατα επικαλυμμένη με κλαδιά και καλάμια. Η επάλειψή της με πηλό δεν επιβεβαιώνεται ανασκαφικά. Η κύρια στί-

smaller poles or “planks” which appeared at the surface of the east and the west wall (Pl. 16, 17a). Apart from the basic elements that constituted the wooden frame of the walls, on the clay lumps existed also impressions of wedges or reeds (Fig. 10, 11, 13, Pl. 37, 38). The clay used for the lumps contained pebbles, pieces of quartz, chaff and other plant material.

During the excavation it was not possible to detect whether a layer of clay was used to seal the external walls.

In the interior of the house were found post-holes for the upright poles that supported the saddle roof (Fig. 4, 15, 16, Pl. 17b, 18a, 21b), which may have been covered by branches and reeds. The use of clay in covering the roof could not be confirmed by the

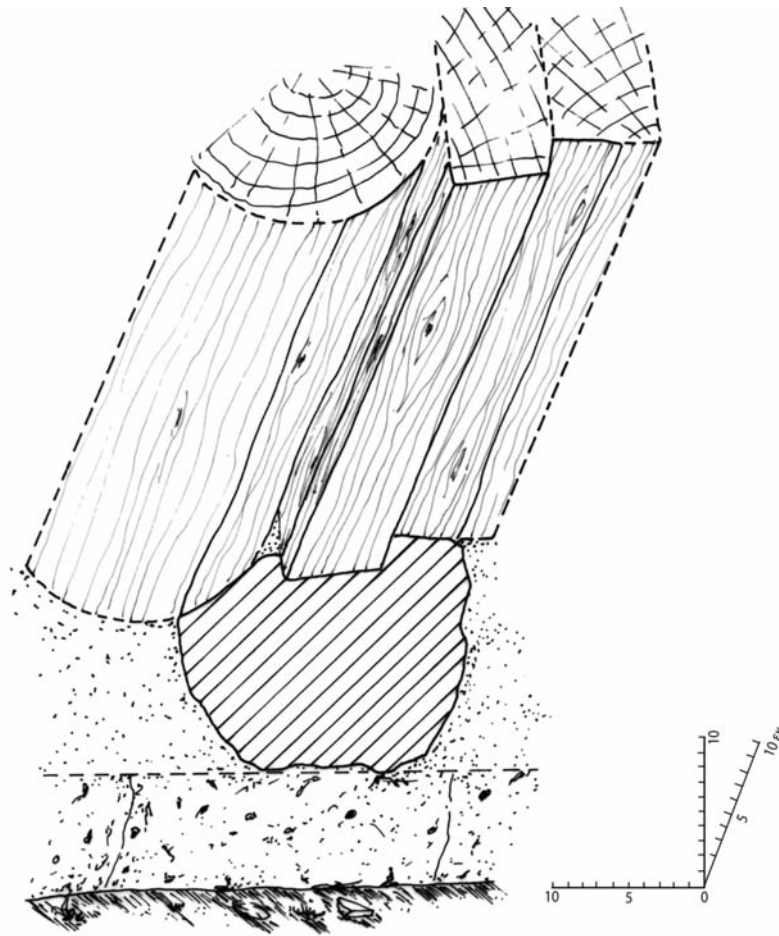


Σχέδιο 11. Μάζα πηλού με αποτυπώματα αποσχισμένων ξύλων (σανίδες) (AKE 6105).

Figure 11. Clay lump with impressions of planks (AKE 6105).

ριξή της διασφαλίστηκε, πέραν του βόρειου και του νότιου τοίχου, με τρεις σειρές πασσάλων χωροθετημένων κατά τον διαμήκη άξονα (Α-Δ), εντός έξι κυκλωτερών λάκκων, ανά τρεις σε δύο σειρές (Πίν. 18, 19, 21α). Οι διαστάσεις των λάκκων ήταν από $0,65 \times 0,85$ μ. έως $0,90 \times 1,15$ μ. και το βάθος τους κυμαίνονταν ανάμεσα στα 26 και 42 εκ. Η μεσαία σειρά των πασσάλων Π 21, ΛΠ 29 και ΛΠ 31 ήταν αυτή που στήριζε την κεντρική διαμήκη δοκό της στέγης (κορφιάς). Οι δύο πλευρικές σειρές πασσάλων (Π 17, ΛΠ 34, ΛΠ 30, Π 25) στήριζαν τις τεγίδες. Η ύπαρξη περισσότερων του ενός οπών (σε ζεύγος ή των τριών) εντός των λάκκων μαρτυρεί τη μεταγενέστερη τοποθέτηση νέων πασσάλων για την ενίσχυση της στέγης ή μετά από φθορά των παλιών. Η βάση των πασσάλων στους λάκκους στερεωνόταν επιπλέον με μάζες πηλού, όπως διαπιστώθηκε από τους πηλούς που βρέθηκαν στο εσωτερικό τους (Πίν. 20α). Για το δεδομένο αυτό μας είχαν προϋδεάσει οι ορατοί κατά

excavation. Apart from the north and the south wall, the main support of the roof was provided by three rows of poles, impacted inside six almost round pits (Pl. 18, 19, 21a). The pits were three in each row and measured from 0.65×0.85 m to 0.90×1.15 m in diameter and 26 to 42 cm in depth. The middle row of the poles Π 21, ΛΠ 29 and ΛΠ 31 supported the central roof timber. The other two rows of poles (Π 17, ΛΠ 34, ΛΠ 30, Π 25) were used for additional support of the roof. The existence of more than one hole in the pits confirms the posterior placing of new poles to underpin the roof or to replace worn ones. The base of the poles was fixed in the pits with pieces of clay, which were found in their interior (Pl. 16a, 20a). To secure the



Σχέδιο 12. Μάζα πηλού με αποτυπώματα αποσχισμένων ξύλων (σανίδες) και πασσάλων (ΑΚΕ 5253 Β).

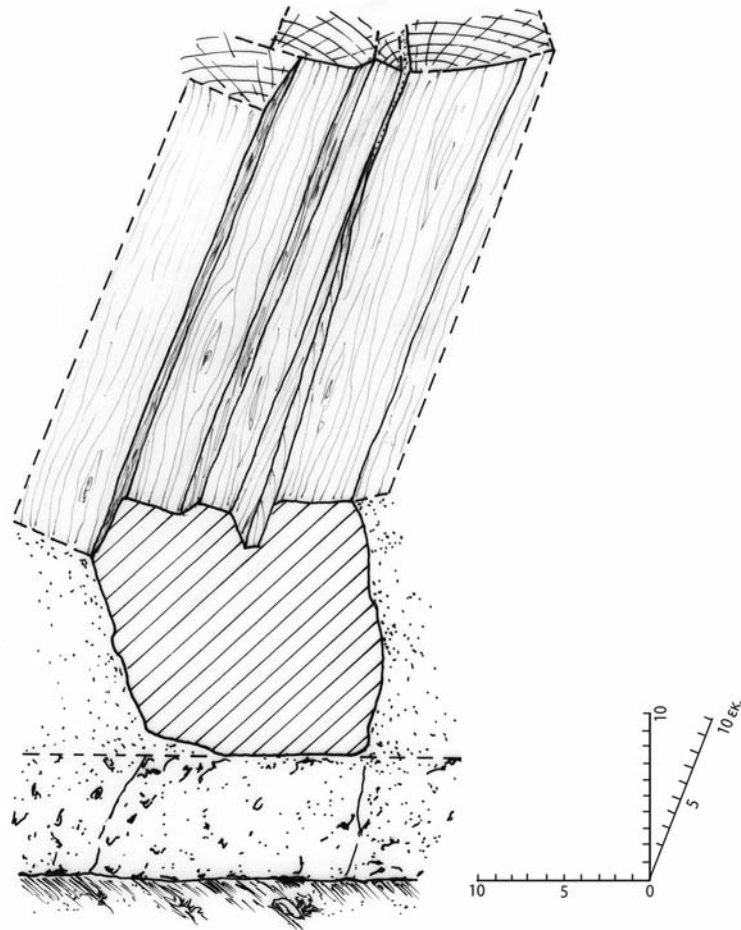
Figure 12. Clay lump with impressions of planks and poles (AKE 5253 B).

την ανασκαφή κυκλικοί σχηματισμοί στο έδαφος (Πίν. 16α). Πέραν των πηλών, για την επιπρόσθετη στήριξη ενός εκ των πασσάλων του λάκκου 34, χρησίμευε και η μεγάλη πέτρα από χαλαζία, λαξευμένη σε σχήμα ημισελήνου (ΑΚ 77), με εσωτερική διάμετρο 10 εκ., όσο δηλαδή η διάμετρος των πασσάλων (Πίν. 20β). Οι πασσαλοφόροι λάκκοι, εκτός των άλλων υλικών, περιείχαν και χώμα με φυσικές κροκάλες (ΛΠ 29). Ασαφές παραμένει, λόγω έλλειψης στοιχείων, αν ανάμεσα στους εσωτερικούς πασσάλους, εκτός από τις μάζες πηλών, υπήρχε και κάποια ελαφριά κατασκευή από καλάμια ή κλαδιά, που να χρησίμευε ως εσωτερικό διαχωριστικό των επιμέρους χώρων.

Στο εσωτερικό του σπιτιού, εκτός από τους πασσάλους σε λάκκο εντοπίστηκαν επιπλέον εννέα πασσαλοπόδες (Π 25, Π 28, Π 14, Π 7, Π 17, Π 24, Π 21, Π 35, Π 23) από συμπληρωματικούς κατακόρυφους πασσάλους, που συνέβαλαν στην ενίσχυση της στέγης και την αποφυγή

poles in pit 34 a big crescent-shaped quartz stone (AK 77) was used as well as clay. Its interior diameter is almost 10 cm, like the diameter of the poles (Pl. 20b). The pole-pits, apart from other materials, contained soil with pebbles (ΛΠ 29). Due to the absence of evidence, it remains unclear if between the poles, except for the pieces of clay, there existed some lighter structure of branches or reeds (wattle), which would have partitioned the interior of the building.

In the interior of the house, apart from the poles in the pits, nine post-holes (Π 25, Π 28, Π 14, Π 7, Π 17, Π 24, Π 21, Π 35, Π 23) from additional upright poles were revealed, which contributed to the underpinning of the roof and for avoiding big gaps (Fig. 4, 15, 16).



Σχέδιο 13. Μάζα πηλού με αποτυπώματα αποσχισμένων ξύλων (σανίδες) (ΑΚΕ 5257 α).

Figure 13. Clay lump with impressions of planks (AKE 5257 a).

μεγάλων διακένων (Σχέδ. 4, 15, 16). Ο πάσσαλος 7 διαγραφόταν στην επιφάνεια των στρώματος καταστροφής. Στην οπή διαμέτρου 12 εκ. του πασσάλου 35 διαπιστώθηκε και πήλινο περιχέλωμα, πλάτους 8 εκ., για στήριξη στη βάση του (Σχέδιο 2, Πίν. 18β, 21α). Η διάμετρος των εσωτερικών πασσάλων ήταν, όπως και των πασσάλων στους εξωτερικούς τοίχους, 10-12 εκ. Σχεδόν σε όλες τις πασσαλοοπές βρέθηκαν δείγματα άνθρακα (Πίν. 13). Η ραδιοχρονολόγηση τεσσάρων από αυτά οδήγησε στην ασφαλή χρονολόγηση του σπιτιού στην Αρχαιότερη Νεολιθική Εποχή.

Σε ό, τι αφορά στο δάπεδο, δεν διαπιστώθηκε κατά την ανασκαφή κάποια ιδιαίτερη επίστρωση πηλοχώματος. Όμως, κρίνοντας από τα αποτυπώματα στη βάση αργείων (ΑΚ 1, 4, 7, 10, 23, 27, 33) το επίπεδο χρήσης του σπιτιού καλυπτόταν με ψάθες.

The hole of pole 7 was visible at the surface of the structural debris. Around the post-hole 35, for additional support at its base, there was a clay rim with a breadth of 8 cm (Fig. 2, Pl. 18b, 21a). The diameter of the internal poles was 10-12 cm, like the poles of the external walls. In almost every post-hole radiocarbon samples were found (Pl. 13), four of which led to the safe dating of the house in the Early Neolithic Age.

During the excavation there could not be detected any clay coating on the floor. But according to impressions at the base of some vessels (AK 1, 4, 7, 10, 23, 27, 33) the habitation level of the house was covered by mats.